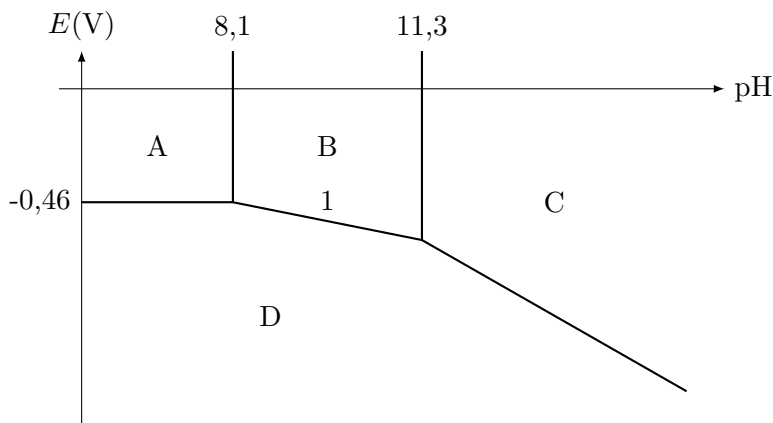


DS n°7 (CCINP-e3a)  
(Samedi 11 mars 2023 – Durée 4 h)

## 1 Diagramme potentiel-pH du cadmium

Le diagramme ci dessous donne le diagramme potentiel-pH de l'élément cadmium à 25°C pour une concentration de tracé  $C_{\text{tra}} = 1,0 \cdot 10^{-2} \text{ mol.L}^{-1}$ . Les espèces utilisées pour construire ce diagramme sont :  $\text{Cd}_{(s)}$ ,  $\text{Cd}(\text{OH})_{2(s)}$ ,  $\text{Cd}_{(aq)}^{2+}$  et  $[\text{Cd}(\text{OH})_3]_{(aq)}^-$ .



- 1) Identifier les espèces A, B, C, et D du diagramme.
- 2) Déterminer le potentiel standard  $E^0(\text{Cd}^{2+}/\text{Cd})$ .
- 3) Écrire l'équation - bilan de la réaction reliant  $\text{Cd}(\text{OH})_{2(s)}$  et  $[\text{Cd}(\text{OH})_3]_{(aq)}^-$  que l'on équilibrera avec des  $\text{OH}^-$ . Déterminer à l'aide du diagramme sa constante d'équilibre.
- 4) Déterminer la pente du segment 1.
- 5) Tracer sur le diagramme les deux droites délimitant la zone de stabilité de l'eau. Le cadmium est-il stable en solution aqueuse ?

### Données générales :

Constante des gaz parfaits :  $R = 8,314 \text{ J.K}^{-1}.\text{mol}^{-1}$

Constante de Faraday :  $\mathcal{F} = 96\,500 \text{ C.mol}^{-1}$

Constante d'Avogadro :  $N_A = 6,023 \cdot 10^{23} \text{ mol}^{-1}$

On prendra :  $\frac{RT}{\mathcal{F}} \ln 10 = 0,06 \text{ V}$  à 25 °C

$T(\text{K}) = T(^{\circ}\text{C}) + 273,15$

### Grandeurs de référence :

Pression standard :  $P^0 = 1 \text{ bar} = 1,0 \cdot 10^5 \text{ Pa}$

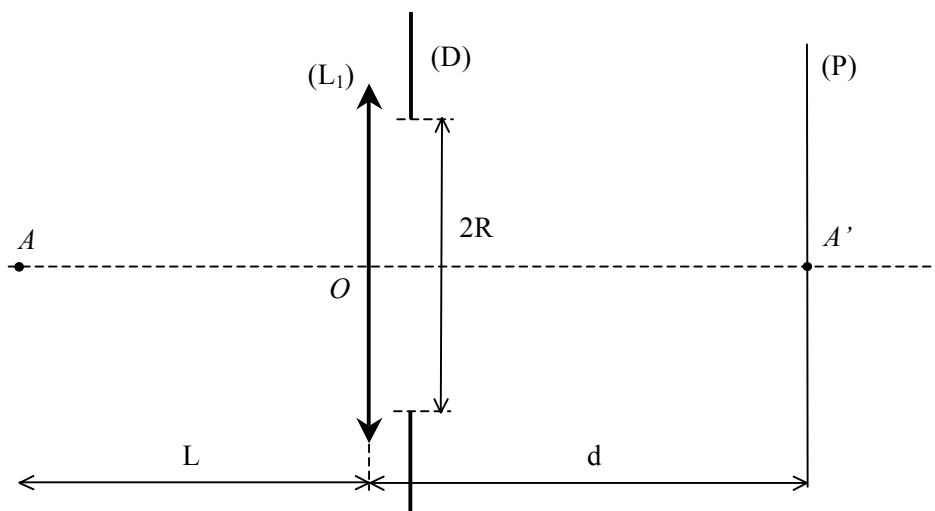
Concentration standard :  $C^0 = 1,0 \text{ mol.L}^{-1}$

### Potentils standard à 25°C

$$E^0(\text{O}_{2(g)}/\text{H}_2\text{O}) = 1,23 \text{ V} \quad \text{et} \quad E^0(\text{H}_3\text{O}_{(aq)}^+/\text{H}_{2(g)}) = 0 \text{ V}$$

Produit ionique de l'eau à 25°C :  $K_e = 10^{-14}$

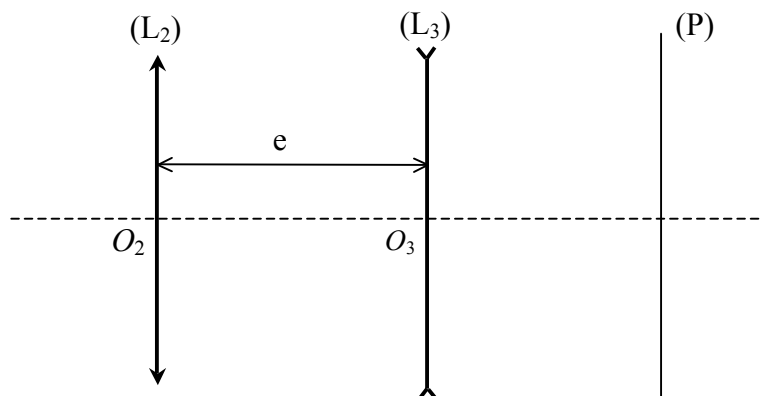
## 2 Appareil photographique



On assimile l'objectif d'un appareil photographique à une lentille mince convergente ( $L_1$ ) de centre  $O$  et de distance focale image  $f'_1 = 50,0$  mm. La pellicule sensible se trouve dans un plan (P) perpendiculaire à l'axe optique, à une distance  $d$  de l'objectif que l'on peut faire varier (mise au point).

1. Entre quelles limites doit varier  $d$  pour obtenir sur (P) des images de points  $A$  dont la distance  $L = AO$  peut varier de 1,20 m à l'infini ?
2. Soit  $\alpha = 2,5 \cdot 10^{-2}$  rad l'angle sous lequel un observateur voit à l'œil nu une tour  $AB$  orthogonale à l'axe optique et située à l'infini ( $\alpha$  est le diamètre apparent de  $AB$ ). On photographie cette tour à l'aide de l'appareil précédent. Quelle est la taille de la tour sur la pellicule ?
3. Soit  $2R$  le diamètre d'un diaphragme circulaire (D) placé contre ( $L_1$ ). On règle l'appareil sur l'infini, (P) étant alors dans le plan focal image de ( $L_1$ ). L'image d'un point  $A$  situé à une distance finie de ( $L_1$ ) ne se trouve alors pas sur (P), mais en un point  $A_1$  situé au delà du plan (P). On observe sur (P) une tâche lumineuse qui est l'intersection de (P) avec le faisceau conique de sommet  $A_1$  et limité par (D).
  - a) Calculer le diamètre de cette tâche en fonction de  $2R$ ,  $f'_1$  et  $L$ .
  - b) On admet que cette tâche est une bonne image de  $A$  si son diamètre est plus petit que  $g = 10^{-2}$  mm. Établir, en vous appuyant sur une figure, la distance minimale  $L_{min}$  pour que l'image de  $A$  soit bonne lorsque l'appareil est réglé sur l'infini.
  - c) On appelle "ouverture" le rapport  $\sigma = f'/2R$ . Déterminer la valeur numérique de  $L_{min}$  pour une ouverture  $\sigma = 2,8$  puis une ouverture  $\sigma = 22$ .
  - d) Que peut-on appeler "profondeur de champ" ? De quoi dépend-t-elle ? À votre avis, que représente  $g$  ?

4. On remplace la lentille ( $L_1$ ) par un téléobjectif constitué d'une lentille convergente ( $L_2$ ) de distance focale image  $f'_2 = 50$  mm suivie d'une lentille divergente ( $L_3$ ) de distance focale image  $f'_3 = -25$  mm. La distance entre les deux lentilles est  $e = 31,2$  mm.



- Où faut-il placer  $(P)$  pour photographier un objet situé à l'infini ? Quelle est alors la longueur totale  $L_E$  de l'appareil (encombrement) ?
- Quelle est la taille de l'image de la tour évoquée à la question 2. ?
- Dessiner soigneusement la marche d'un faisceau incident de rayons parallèles, faisant un angle  $\alpha$  (quelconque mais fixé) avec l'axe optique : échelle en abscisse 1 cm réel donne 0,5 cm sur le dessin.
- Quelle serait la distance focale d'une lentille convergente unique qui donnerait de la tour la même taille d'image que le téléobjectif ? Comparer son encombrement à celui de la question a).

### 3 Un défi métrologique : la détection des ondes gravitationnelles

*Le théorie d'Einstein de la relativité générale prévoit l'existence de phénomènes ondulatoires associés aux champ de gravitation : les ondes gravitationnelles. Depuis leur prédiction, en 1916 par EINSTEIN, aucune expérience n'a permis de détecter directement ces ondes. Les effets attendus sont en effet extrêmement faibles : en pratique, il faut déceler une variation de longueur avec une précision de l'ordre de  $10^{-21}$  ! Une telle précision, autrefois inimaginable, semble aujourd'hui accessible à l'aide d'interféromètres de MICHELSON de très grandes dimensions (bras de plusieurs kilomètres). Les difficultés restent considérables, mais plusieurs installations sont en voie d'achèvement, tels les projets LIGO aux Etats-Unis et VIRGO en Europe ; elles devraient bientôt fournir leurs premières observations.*

La première partie de ce problème aborde le principe physique de la méthode de détection envisagée ainsi qu'un des moyens permettant de s'affranchir des fluctuations de puissance du LASER utilisé. La deuxième partie s'intéresse à l'aspect mécanique d'un des systèmes physiques, source d'ondes gravitationnelles susceptibles d'être détectées. Les deux parties sont totalement indépendantes entre elles.

**Aucune connaissance de la théorie de la relativité d'Einstein n'est nécessaire à la résolution du problème.**

**Données physiques :**

- constante de la gravitation :  $G = 6,67 \cdot 10^{-11}$  (S.I.)

- vitesse de la lumière dans le vide :  $c = 3 \cdot 10^8$  m.s<sup>-1</sup>

**Conventions générales :**

Le nombre complexe de module 1 et d'argument  $+\frac{\pi}{2}$  sera noté  $j$ .

Les grandeurs sinusoïdales seront représentées en notation complexe. Par convention, la grandeur complexe associée à une grandeur réelle de la forme  $g(t) = g_0 \cos(\omega t + \varphi)$  sera désignée par une lettre soulignée notée  $\underline{g} = g_0 \exp[j(\omega t + \varphi)]$ .

**Conventions relatives au signal lumineux :**

Une onde lumineuse monochromatique de pulsation  $\omega$  est caractérisée par un signal lumineux  $s$ , dont la représentation complexe en un point  $M$  donné est de la forme  $\underline{s}(M, t) = a \exp[j(\omega t - \varphi(M))]$  où  $a$  est l'amplitude (constante) de l'onde et  $\varphi(M)$  sa phase au point considéré.

L'éclairement  $I$  associé est relié au signal  $\underline{s}$  par  $I = |\underline{s}|^2$ .

## PREMIÈRE PARTIE

### DISPOSITIF INTERFERENTIEL ET METHODE DE DETECTION

#### A – Interféromètre de Michelson

##### 1. Interférences entre deux ondes monochromatiques cohérentes

Etudions la superposition de deux ondes lumineuses monochromatiques, de même pulsation  $\omega$ , de même amplitude  $a$ . Au point  $M$  considéré, l'onde 1 possède une phase  $\varphi_1(M)$  et l'onde 2, une phase  $\varphi_2(M)$ .

**A1\*a.** Exprimer le signal lumineux complexe  $\underline{s}(M, t)$  résultant de la superposition de ces deux ondes au point  $M$ , en fonction de  $a$ ,  $\omega$ ,  $t$ ,  $\varphi_1(M)$  et  $\varphi_2(M)$ .

**A1\*b.** Montrer que l'éclairement observé en  $M$  peut s'écrire sous la forme  $I(M) = 2I_0 [1 + \cos(\varphi_2(M) - \varphi_1(M))]$ , et exprimer  $I_0$  en fonction de  $a$ . Quel est le sens concret de  $I_0$  ?

**A1\*c.** Posons  $\delta\varphi(M) = \varphi_2(M) - \varphi_1(M)$ . Quelle condition doit vérifier  $\delta\varphi(M)$  pour que soit observé en  $M$  un maximum d'éclairement ? A quelle condition sur  $\delta\varphi(M)$  l'éclairement est-il minimal en  $M$  ?

## 2. Source monochromatique

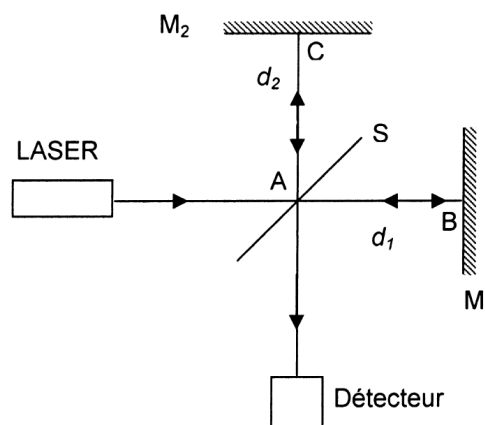
La figure 1 représente le dispositif interférentiel utilisant un interféromètre de MICHELSON :

La séparatrice,  $S$ , inclinée de  $45^\circ$  par rapport aux miroirs  $M_1$  et  $M_2$  est idéalisée : il est admis qu'elle n'introduit aucun déphasage supplémentaire. L'interféromètre est supposé réglé en « lame d'air », ce qui signifie que les deux miroirs sont parfaitement perpendiculaires.

Les « bras » de l'interféromètre ont pour longueurs  $d_1 = AB$  et  $d_2 = AC$ . Notons  $\delta_0 = 2(d_2 - d_1)$ .

Le bras 2 a une longueur fixée, notée  $d_2 = L$ .

Le miroir  $M_1$  peut être translaté (lors d'un « chariotage »).



**Figure 1 : Interféromètre de MICHELSON**

Le LASER utilisé comme source émet un faisceau très fin, parfaitement perpendiculaire à  $M_1$ , de sorte que les deux faisceaux qui émergent de l'interféromètre sont exactement superposés sur le détecteur.

Le LASER est tout d'abord supposé parfaitement monochromatique, de longueur d'onde dans le vide  $\lambda = 1,06 \mu\text{m}$ .

L'éclairement reçu par le détecteur lorsque l'un des miroirs est occulté, est noté  $I_0$ .

**A2\*a.** A quelle condition sur  $\delta_0$  dit-on que l'interféromètre de MICHELSON est au contact optique ? Décrire brièvement comment procéder, avec les interféromètres utilisés en Travaux Pratiques, pour déterminer précisément le contact optique.

**A2\*b.** Exprimer l'éclairement  $I(\delta_0)$  reçu par le détecteur, en fonction de  $I_0$ ,  $\lambda$  et  $\delta_0$ .

La théorie d'EINSTEIN de la relativité générale prévoit qu'une onde gravitationnelle provoque une variation de la longueur relative des bras, ce qui se traduit par un changement de différence de marche entre les deux signaux optiques qui interfèrent.

En présence d'une onde gravitationnelle, la différence de marche entre les deux ondes optiques au niveau du détecteur devient :  $\delta = \delta_0 + L\varepsilon$ , où  $\varepsilon$  est appelée amplitude de l'onde gravitationnelle. C'est une quantité extrêmement petite, dont l'ordre de grandeur attendu est  $\varepsilon = 10^{-21}$ .

**A2\*c.** En effectuant un développement limité au premier ordre en  $\varepsilon$ , déterminer la variation d'éclairement  $(\Delta I)_{og} = I(\delta) - I(\delta_0)$  induite par l'onde gravitationnelle en fonction de  $I_0$ ,  $\delta_0$ ,  $L$ ,  $\lambda$  et  $\varepsilon$ .

**A2\*d.** L'éclairement  $I_0$  étant donné, comment faut-il choisir  $\delta_0$  pour que la variation d'éclairement  $(\Delta I)_{og}$  soit aussi grande que possible en valeur absolue ?

**A2\*e.** Pour améliorer la sensibilité de détection, il est intéressant de choisir une longueur  $L$  très grande. (pour les applications numériques, prendre  $L = 100 \text{ km}$ )<sup>1</sup>

Déterminer numériquement la variation relative  $\frac{(\Delta I)_{og}}{I_0}$  maximale attendue pour  $\varepsilon = 10^{-21}$ .

### 3. Influence de la largeur spectrale du LASER

Dans cette question, le LASER n'est plus une source parfaitement monochromatique, mais possède une largeur spectrale non nulle. Le LASER est considéré comme la superposition de sources quasi monochromatiques de pulsations  $\omega$ , et l'éclairement spectral en pulsation sera désigné par  $I_{0\omega}$ .

Plus précisément, si l'un des miroirs de l'interféromètre est occulté (donc si une seule onde lumineuse parvient au détecteur), les composantes de pulsation comprise dans l'intervalle  $[\omega, \omega + d\omega]$  donnent sur le détecteur un éclairement :  $dI_0 = I_{0\omega} d\omega$ .

Considérons un LASER possédant un profil spectral rectangulaire en pulsation, de largeur  $\Delta\omega$ , centré sur la pulsation  $\omega_0$ , de la forme :

$$I_{0\omega} = K \text{ (constante), si } \omega \in \left[ \omega_0 - \frac{\Delta\omega}{2}, \omega_0 + \frac{\Delta\omega}{2} \right] \text{ et } I_{0\omega} = 0, \text{ si } \omega \notin \left[ \omega_0 - \frac{\Delta\omega}{2}, \omega_0 + \frac{\Delta\omega}{2} \right].$$

**A3\*a.** Pourquoi est-il légitime de sommer les éclaircements associés à des signaux de pulsations différentes ? Exprimer l'éclairement total  $I_0$  reçu par le détecteur, si l'un des miroirs est occulté, en fonction de  $K$  et  $\Delta\omega$ .

**A3\*b.** Supposons que la différence de marche entre les deux ondes est  $\delta$ . Si aucun des miroirs n'est occulté, exprimer l'éclairement  $dI$  associé aux composantes de pulsation situées dans l'intervalle  $[\omega, \omega + d\omega]$ , en fonction de  $\omega$ ,  $\delta$ ,  $I_0$ ,  $\Delta\omega$  et  $d\omega$ .

**A3\*c.** En déduire que l'éclairement  $I(\delta)$  au niveau du détecteur est de la forme :

$$I(\delta) = 2I_0 \left[ 1 + V(\delta) \cos\left(\frac{\omega_0}{c} \delta\right) \right], \text{ et exprimer } V(\delta) \text{ en fonction de } \Delta\omega, \delta \text{ et } c.$$

Que vaut  $V(\delta)$  si  $\Delta\omega = 0$  ? Commenter ce résultat.

**A3\*d.** Quelle est la signification concrète du paramètre  $|V(\delta)|$  ?

Pour une valeur donnée de la largeur  $\Delta\omega$ , représenter  $|V(\delta)|$  en fonction de  $\delta$ , en faisant apparaître les points remarquables.

**A3\*e.** Justifier que le phénomène d'interférences n'est plus décelable si la différence de marche  $\delta$  est nettement plus grande, en valeur absolue, que la longueur caractéristique

$$\ell_c = \frac{2\pi c}{\Delta\omega}.$$

<sup>1</sup> En réalité, les miroirs et la séparatrice sont distants de « seulement » quelques kilomètres (trois kilomètres pour le projet européen VIRGO), mais la longueur effective des bras est allongée à l'aide d'un dispositif optique (interféromètre de Fabry-Pérot) qui ne sera pas étudié ici.

Dans l'interféromètre réel, il est difficile de garantir que les longueurs<sup>2</sup> des deux bras sont identiques à mieux que quelques mètres près. La différence de marche exacte de l'interféromètre,  $\delta_0$  n'est donc pas connue précisément ; en tout état de cause, elle est inférieure à  $\delta_{0,\max} = 10$  m.

**A3\*f.** Déterminer en fonction de  $\delta_{0,\max}$  un ordre de grandeur de la largeur  $\Delta\omega_{\max}$  maximale permettant d'observer des interférences pour  $\delta = \delta_{0,\max}$ . Estimer numériquement

$$\frac{\Delta\omega_{\max}}{\omega_0}$$

Admettons désormais que la largeur spectrale du LASER vérifie  $\Delta\omega \ll \Delta\omega_{\max}$ , ce qui autorise à le considérer comme parfaitement monochromatique ; les résultats de la sous-partie 2. peuvent donc être appliqués.

## B - Prise en compte des fluctuations de puissance du LASER

### 1. Influence des fluctuations de puissance

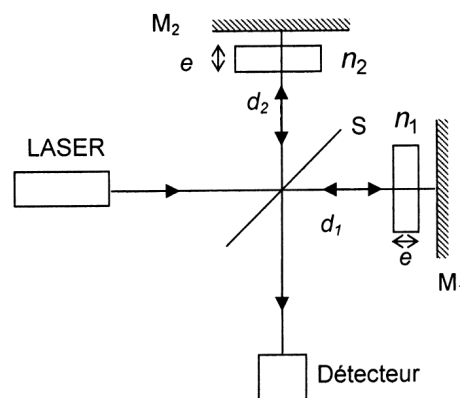
La puissance du LASER n'est en fait pas rigoureusement constante au cours du temps, mais a tendance à fluctuer de façon aléatoire, ce qui fait varier la quantité  $I_0$ .

**B1\*a.** Sous l'effet d'une fluctuation de puissance, l'éclairement  $I_0$  devient  $I_0 + \Delta I_0$ . En supposant que  $\varepsilon = 0$ , déterminer la variation correspondante d'éclairement détecté,  $(\Delta I)_{\text{fluc}}$  en fonction de  $\Delta I_0$ ,  $\delta_0$  et  $\lambda$ .

**B1\*b.** Comment doit-on choisir  $\delta_0$  pour que le signal détecté soit aussi insensible que possible aux fluctuations de puissance du LASER ? Comparer ce choix à la condition de détection optimale des ondes gravitationnelles établie au A2\*d. et commenter.

### 2. Dispositif de POUND DREVER HALL

Le montage est modifié en intercalant sur chacun des bras une lame de verre, comme indiqué sur la figure 2 :



**Figure 2 : Méthode de Pound Drever Hall**

<sup>2</sup> Il s'agit, rappelons-le, de longueurs effectives (voir note 1).

Les indices de chaque lame, respectivement  $n_1$  et  $n_2$  sont a priori différents. Chaque lame possède exactement la même épaisseur  $e$ . Le dispositif fonctionne en présence d'une onde gravitationnelle d'amplitude  $\varepsilon$ .

**B2\*a.** Exprimer la nouvelle différence de marche  $\delta$  au niveau du détecteur en fonction de  $n_1, n_2, \delta_0, L, \varepsilon$  et  $e$ .

Les lames de verre sont en fait constituées d'un matériau dont l'indice de réfraction peut varier de façon contrôlée. Imposons ainsi à  $n_1$  et  $n_2$  une variation sinusoïdale au cours du temps, à la pulsation  $\Omega$ , selon :  $n_1(t) = n - a_0 \cos(\Omega t)$  et  $n_2(t) = n + a_0 \cos(\Omega t)$ , où  $a_0$  est une constante.

**B2\*b.** Montrer que l'éclairement peut s'écrire :  $I = 2I_0 [1 + \cos(\Phi_0 + \alpha\varepsilon + 2m \cos(\Omega t))]$ , et exprimer les constantes  $\Phi_0, \alpha$  et  $m$  en fonction de paramètres choisis parmi  $\lambda, L, a_0, e$  et  $\delta_0$ .

### 3. Filtrage du signal détecté – choix du filtre

En « chariotant » le miroir  $M_1$ , l'interféromètre est placé en position de « frange sombre », ce qui correspond à  $\Phi_0 = \pi + 2k\pi$ , où  $k$  est un entier. Il est alors possible de montrer (calcul non demandé) que, si  $m \ll 1$ , l'éclairement dépend du temps selon la loi :

$$I(t) \cong I_0 [m^2 + 2m\alpha\varepsilon \cos(\Omega t) + m^2 \cos(2\Omega t)].$$

La chaîne de détection utilisée transforme ensuite l'éclairement reçu par le détecteur en une tension  $V_d(t)$  proportionnelle à  $I(t)$  :  $V_d(t) = \gamma I(t)$ .

**B3\*a.** Expliquer le type de filtrage qu'il convient de faire subir à  $V_d(t)$ , pour en extraire la composante proportionnelle à  $\varepsilon$ .

Le filtre utilisé est modélisé par le circuit représenté sur la figure 3, dans lequel l'amplificateur opérationnel est idéal et fonctionne en régime linéaire.  $k$  est une constante positive.

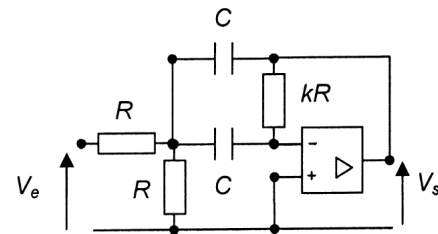


Figure 3 : Filtre

**B3\*b.** Déterminer sans calcul la nature de ce filtre.

**B3\*c.** En se plaçant en régime sinusoïdal établi de pulsation  $\beta$ , montrer que la fonction de transfert du montage  $\underline{H} = \frac{V_s}{V_e}$  peut se mettre sous la forme

$$\underline{H} = \frac{H_0}{1 + jQ\left(x - \frac{1}{x}\right)}, \text{ où } x = \frac{\beta}{\Omega_0} \text{ et } H_0, \Omega_0 \text{ et } Q \text{ sont des constantes à exprimer en}$$

fonction de  $R, C$  et  $k$ .

**B3\*d.** Définir le gain en décibel associé, noté  $G_{dB}$ .

Représenter le diagramme de BODE en amplitude :  $G_{dB}$  en fonction de  $\log(x)$ .

Pour le tracé, supposer  $Q = 10$ , et préciser :

- les asymptotes du diagramme (pente et ordonnée à l'origine),
- la valeur du gain  $G_{dB}$  en  $x = 1$ .



**B3\*e.** Définir et déterminer la largeur de la bande passante du filtre à -3 dB en fonction de  $Q$  et  $\Omega_0$ .

La tension d'entrée du filtre est en fait la tension délivrée par la chaîne de détection :  $V_e(t) = V_d(t)$ .

**B3\*f.** A quelle condition entre  $\Omega_0$  et  $\Omega$  le filtre étudié est-il le mieux adapté pour extraire la composante « gravitationnelle » du signal  $V_d(t)$  ?

#### 4. Résultat du filtrage

**B4\*a.** La condition du B3\*f. est supposée remplie. Montrer que le signal de sortie  $V_s(t)$  est en fait la somme de deux composantes sinusoïdales de pulsations  $\Omega$  et  $2\Omega$ , dont les amplitudes, notées respectivement  $A_\Omega$  et  $A_{2\Omega}$ , seront précisées en fonction de  $\gamma$ ,  $I_0$ ,  $m$ ,  $\alpha$ ,  $\varepsilon$ ,  $Q$  et  $H_0$ .

La tension de sortie  $V_s(t)$  est elle-même filtrée pour obtenir une tension finale constante, dépendant de  $I_0$  et  $\varepsilon$ , qui s'exprime sous la forme :

$$V(I_0, \varepsilon) = b A_{2\Omega} + A_\Omega.$$

**B4\*b.** Exprimer la variation  $(\Delta V)_{fluc} = V(I_0 + \Delta I_0, 0) - V(I_0, 0)$  associée à une fluctuation  $\Delta I_0$  de l'éclairement du LASER, en fonction de  $\Delta I_0$ ,  $m$ ,  $b$ ,  $\gamma$ ,  $Q$  et  $H_0$ .

Déterminer la variation  $(\Delta V)_{og} = V(I_0, \varepsilon) - V(I_0, 0)$  associée à une onde gravitationnelle d'amplitude  $\varepsilon$  en fonction de  $\gamma$ ,  $I_0$ ,  $\varepsilon$ ,  $m$  et  $\alpha$  et  $H_0$ .

**B4\*c.** Pour un LASER et un interféromètre donnés, proposer un choix des paramètres de la chaîne de détection et de filtrage pour améliorer le rapport  $\frac{(\Delta V)_{og}}{(\Delta V)_{fluc}}$ .

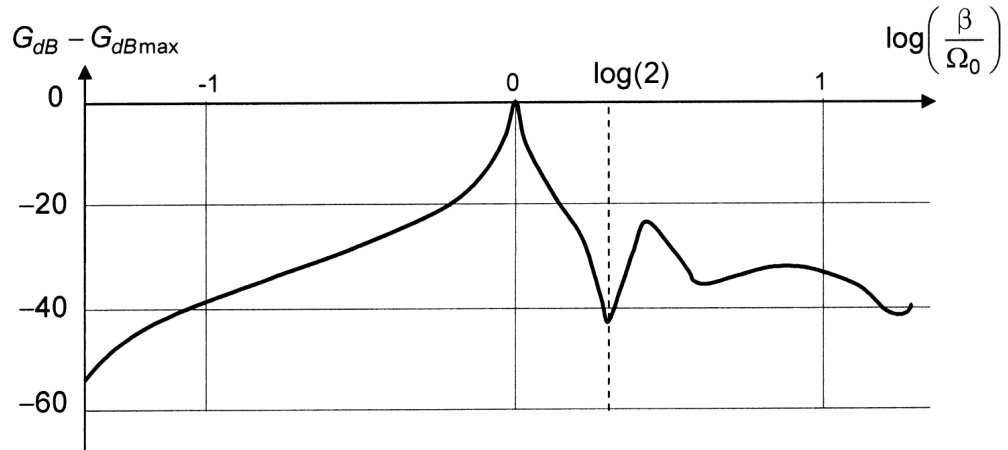
Est-il vraiment intéressant de prendre une valeur de  $m$  très petite ?

Application numérique : Calculer  $\frac{(\Delta V)_{og}}{(\Delta V)_{fluc}}$  avec les valeurs suivantes :

$$\frac{\Delta I_0}{I_0} = 10^{-5}, \quad m = 0,1, \quad b = 10^{-2}, \quad \alpha = 5,9 \cdot 10^{11}, \quad Q = 10, \quad \varepsilon = 10^{-21}.$$

Peut-on détecter les ondes gravitationnelles malgré les fluctuations de puissance du LASER ?

Plutôt que d'utiliser le circuit de la figure 3, il est courant d'employer un filtre modifié, dont le diagramme de Bode est représenté sur la figure 4, ci-dessous :



**Figure 4 : Réponse expérimentale du filtre réel (projet LIGO)**

En pratique  $\Omega_0 = 1,6 \times 10^8 \text{ rad.s}^{-1}$  ;  $G_{dB}(2\Omega_0) = G_{dB,max} - 43 \text{ dB}$

$G_{dB,max}$  est le gain maximum du filtre

**B4\*d.** Pourquoi le montage réel est-il mieux adapté au filtrage désiré que le filtre étudié auparavant ? En supposant que le reste de la chaîne de détection et de filtrage n'est pas modifié, évaluer numériquement le rapport  $\frac{(\Delta V)_{og}}{(\Delta V)_{fluc}}$  obtenu avec le filtre réel, puis conclure.